

**ԵՐԵՎԱՆԻ ՊԵՏԱԿԱՆ ՀԱՍՏԱՏՄԱՆԻ ԳԻՏԱԿԱՆ ՏԵՂԵԿԱԳԻՐ
УЧЕНЫЕ ЗАПИСКИ ЕРЕВАНСКОГО ГОСУДАРСТВЕННОГО УНИВЕРСИТЕТА**

Երկրաբանություն և աշխարհագրություն 3, 2011

Геология и география

Երկրաբանություն

УДК 552.50.834

գ. Վ. ՍԱՐԿՈՍՅԱՆ, Ռ. Ա. ՔԱՐԱՄՅԱՆ

**ՔՐՈՍԻՏԱՅԻՆ ՀԱՆՔԱՎԱՅՐԵՐՈՒՄ ՍԱԳՆԻՍԱՀԵՏԱԽՈՒԹՅՈՒՆ
ԿԻՐԱԾՈՒՄՆ ԱՐԴՅՈՒՆԱՎԵՏՈՒԹՅՈՒՆԸ
(Ծործայի հանքավայրի օրինակով)**

Քրոմիտային հանքանյութերի ֆիզիկաերկարանական բնութագրերը և երկրաֆիզիկական մեթոդների ընտրության հիմնավորումը: Քրոմիտների հանքավայրերի մեծամասնությունն ունի հետմագմատիկ ծագում և կապված է գերիհմքային կազմի ապարների հետ: Քրոմիտային հանքանյութերը հիմնականում ներկայացված են լինում երկու տիպերով՝ զանգվածեղ և ներփակումային: Հանքանյութերը հիմնականում կազմված են քրոմշալման-լիդի խմբի միներալներից՝ շպինել, քրոմային երկարաքար, քրոմափիկոտիտ, քրոմիտ և այլն, ինչպես նաև սիլիկատներից՝ սերպենտին և օլիվին: Քրոմիտի հանքանյութերի միջին խտությունը և մագնիսական ընկալունակությունը կախված են քրոմիտի (Cr_2O_3) տոկոսային պարունակությունից, և պայմանավորված են կազմվածքակառուցվածքային առանձնահատկություններով: Խտությունը՝ քրոմիտի տոկոսային պարունակությունից ունի ուղիղ համեմատական, իսկ մագնիսական ընկալունակությունը՝ հակադարձ համեմատական կախվածություն: Աղյուսակում բերված է Ուրալի և Անդրկովկասի տարրեր հանքավայրերում հանդիպող քրոմիտների խտության և մագնիսական հատկությունների տվյալները [1]:

Հանքանյութ	$\sigma_{\text{փո.}}, \text{q/mm}^3$	$\chi_{\text{փո.}}, 10^{-5} \text{SI}$	$\text{Cr}_2\text{O}_3, \%$
Քրոմիտ; խիտ ներփակումներով, համատարած	4,36	113	67
Քրոմիտ; խիտ ներփակումներով, հարուստ	4,31	113	60
Քրոմիտ; խիտ ներփակումներով, գորշ	3,99	259	53
Քրոմիտ; միջին ներփակումներով	3,54	376	45
Քրոմիտ; հազվադեպ ներփակումներով	3,23	528	39
Դունիտ սերպենտինացված	2,46	1510	—

Ինչպես երևում է աղյուսակից՝ որքան հանքանյութում մեծ է Cr_2O_3 -ի տոկոսային պարունակությունն, այնքան նվազում է մագնիսական ընկալունակությունը, իսկ խտությունը՝ աճում է:

Քրոմիտային հանքավայրերը կապված են դունիտ-հարցբուրգիտային ենթաֆորմացիաների հետ: Ներկայացված են լինում քրոմշալմիլդով և սիլի-

կատային ցեմենտով (սերպենտին, օլիվին և այլն): Չփոփոխված գերհիմքային ապարներն, ըստ՝ մազնիսական հատկությունների, պատկանում են թոյլ մազնիսականություն ունեցող ապարների խմբին՝ $\chi=(0-300)\cdot10^{-5}$ SI: Քրոմիտային հանքանյութերը չփոփոխված վիճակում, նույնպես թոյլ մազնիսական են, այսպես օրինակ՝ քրոմիտների մոտ $\chi=34\cdot10^{-5}$ SI, իսկ սերպենտինի մոտ $\chi=(8-9)\cdot10^{-5}$ SI: Ապարների և հանքանյութերի մազնիսական ընկալունակությունների տարրերությունները պայմանավորված են նրանցում մազնետիտի, երբեմն նաև՝ պիրոտինի և այլ ֆերոմագնիսական միներալների տոկոսային պարունակություններով:

Քրոմիտային հանքանյութերի միջին մազնիսական ընկալունակությունը տատանվում է $(100-300)\cdot10^{-5}$ SI, երբեմն նաև՝ $(100-2500)\cdot10^{-5}$ SI սահմաններում, իսկ սերպենտինացված դունիտներինը՝ $\chi=(1400-5500)\cdot10^{-5}$ SI:

Գերհիմքային ապարների զանգվածներն, այդ թվում նաև՝ քրոմիտացվածներն, ավանդաբար, համարվում են մազնիսահետախուզության ուսումնասիրության օբյեկտներ: Աշխարհում հայտնի քրոմիտային հանքավայրերում կատարված հետազոտությունները ցույց են տվել, որ քրոմիտային հանքանյութերի և գերհիմքային ապարների մազնիսական ընկալունակությունների զգալի տարրերությունները հիմք են հանդիսանում, որպեսզի քրոմիտների կուտակումների վրա դիտվեն ցածր ինտենսիվությամբ մազնիսական անոմալիաներ: Երբեմն, ֆիքսվում են ΔT և ΔZ դաշտերի բացասական -300 -ից մինչև -150 mS ինտենսիվությամբ անոմալիաներ, իսկ առավել հաճախ, քրոմիտային հանքային մարմինների վրա դիտվում են նույն բաղադրիչների համար՝ $200-500$ mS ինտենսիվության հարաբերական մինիմումների լոկալ անոմալիաներ: Սակայն, նմանատիպ անոմալիաներ կարող են առաջանալ նաև՝ տեկտոնական խախտված գոտիներում և մազնետիտի անհավասարաշափ բաշխման տեղամասերում: Այդ պատճառով էլ, օգտակար անոմալիաների տարանջատումը դառնում է բավականին դժվար, ուստի, մազնիսահետախուզությունը կիրառվում է գրավիհետախուզության հետ [1, 2]:

Այսպիսով, քրոմիտային հանքանյութերի որոնման ժամանակ, երկրաֆիզիկական համալիր մեթոդների առջև դրվող խնդիրներն են՝

- գերհիմքային զանգվածների քարտեզագրում;
- մորֆոլոգիական և պետրոգրաֆիական առանձնահատկություններով տարրերվող տեղամասերի տարանջատում;

– բարենպաստ ֆիզիկակրարանական պայմանների դեպքում՝ քրոմիտային հանքային մարմինների հայտնաբերում և ըստ՝ անոմալիաների ինտենսիվության՝ քրոմիտի պաշարների մոտավոր զնահատում.

Ըստ՝ վերը նշվածի, քրոմի հանքավայրերը, ծագումնաբանորեն և տարածականորեն, կապված են գերհիմքային ապարների զանգվածների հետ: Շորժայի հանքավայրը բացառություն չի կազմում: Քրոմիտային հանքանյութերի հանքավայրն, անմիջականորեն, կապված է այստեղ տարածված վերին կավճի հասակի գերհիմքային ապարների հետ: Երկրաֆիզիկական հետազոտությունների համար նախատեսված տեղամասում, հիմնական տարածված ապարներն են՝ սերպենտինացված դունիտները, պերիդոտիտները (հարցրուրգիտներ), սերպենտինները, լիստվենիտները (ըստ՝ նոր տվյալների՝ կարբոնատիտներ) և մերգելային ու կավային կրաքարերը [3]:

Կրաքարերը, տարածված են հատկապես՝ հետազոտվող տարածքի հարավ-արևմուտքում և հյուսիս-արևմուտքում: Ի տարբերություն, մյուս ապարների, որոնք հիմնականում գերիշմքային կազմի են և օժտված են բարձր մագնիսական ընկալունակությամբ ու բարձր խտությամբ, կրաքարերն ընդհակառակը՝ բույլ մագնիսացված են և ունեն համեմատաբար փոքր խտություն: Ուստի, կրաքարերի տարածման սահմաններում, երկրամագնիսական դաշտը համարժեք կլինի Երկրի նորմալ մագնիսական դաշտին կամ տարածքին բնորոշ ռեզիստանու մագնիսական անոնալ դաշտին: Խտությամբ կրաքարերը, որոշակիորեն, տարբերվում են մյուս ապարներից, եթե հիմքային և գերիշմքային հաճայնացված ապարների խտությունը տատանվում է՝ 2,5–4,5 գ/սմ³ սահմաններում, ապա կրաքարերին՝ 1,8–2,9 գ/սմ³ սահմաններում է:

Հետազոտության տարածքը հիմնականում ընկած է գերիշմքային կազմի ապարների տարածման սահմաններում: Խնդիր է դրված իրականացնել խոշորամաշտաք, քարտեզագրառողական աշխատանքներ, նպատակ ունենալով, համապատասխան ֆիզիկական դաշտերի անոնալիաների օգնությամբ՝ հայտնաբերել և քարտեզագրել քրոմիտներով հարուստ հաճայնական տեղամասերը:

Այդ նպատակին հասնելու համար, կիրառվել է մագնիսահետախուզությունը՝ մակերեսութային հանույթի մեթոդիկայով: Խնդրի լուծման նման մոտեցումը պայմանավորված է եղել մագնիսահետախուզության օպերատիվությամբ և ռելիեֆի բարդություններով:

Հետազոտության մեթոդիկան և տեխնիկան: Հաճային դաշտի 10 հա մակերեսով տեղամասում, իրականացվել է մագնիսական հանույթ, հյուսիս-հարավ ուղղությամբ՝ 19 զուգահեռ արողիքներով, որոնց միջև հեռավորությունը պահպանվել է 25 մ, իսկ դիտարկման քայլը՝ 10 մ: Գեղեցիկական մեթոդներով, հանույթի ալորդիները նախապես, անրացվել են տեղանքում, որը բույլ է տալիս երկրաֆիզիկական անոնալիաները ճշգրտորեն կապել տեղանքի հետ, իսկ երկրաբանական մեկնարաբանումները դարձնել առավել հուսալի [4]:

Հանույթն իրականացվել է G-826 մակնիշի պրոտոնային մագնիսումետրով, չափվել է մագնիսական ինդուկցիայի լրիվ վեկտորի (T) քացարձակ արժեքը՝ $\pm 1 \mu\text{S}$ ճշտությամբ:

Մագնիսահետախուզական աշխատանքների արդյունքները: Մագնիսական հանույթի տվյալները միջինացվել և ուղղվել են վարիացիաների համար, այսուհետև՝ $\Delta T = T_{\eta\text{իս.}} - T_{\eta\text{ս.}}$ բանաձևով հաշվարկվել է դաշտի հարաբերական աճը՝ ստուգման կետի նկատմամբ: $T_{\eta\text{իս.}}\text{-ը}$ շարքային կետերում դաշտի դիտված արժեքն է, իսկ $T_{\eta\text{ս.}}\text{-ը}$ ՝ դաշտի արժեքն է ստուգման կետում (U_4): Ստուգման կետում T դաշտի միջին արժեքը կազմել է 49900 μS , որն էականորեն տարբերվում է Երկրի նորմալ դաշտից ($T_{\eta\text{ս.}}=48700 \mu\text{S}$): Հաշվի առնելով այն փաստը, որ $U_4\text{-ը}$ դրված է մագնիսականություն չունեցող կրաքարերի վրա, ուստի, նկատելի տարբերությունը նորմալ դաշտից ցույց է տալիս, որ U_4 -ում և ընդհանրապես այս տարածքում առկա է ռեզիտանալ անոնալ դաշտ՝ մոտավորապես 1000–1100 μS ինտենսիվությամբ [5]:

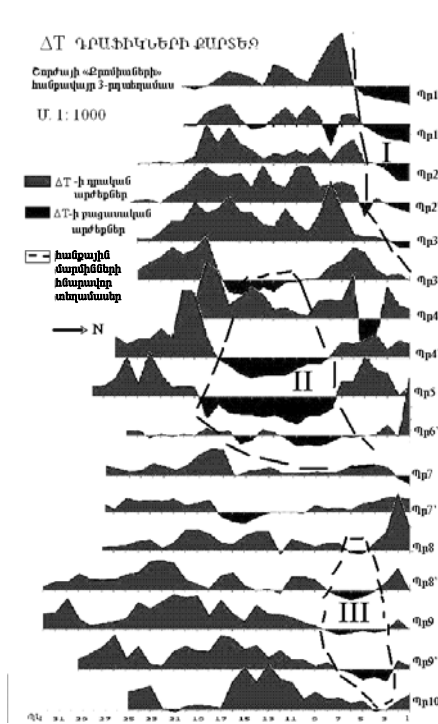
ΔT -ի արժեքներով կառուցվել են գրաֆիկների և իզոդինամների քարտեզները (նկ. 1, 2):

Ինչպես երևում է քարտեզներից, դաշտի ցածր և բացասական արժեքներով, անոնալ տեղամասերը երեքն են: Այդ անոնալիաները քարտեզների վրա համարակալված են I, II և III բվերով:

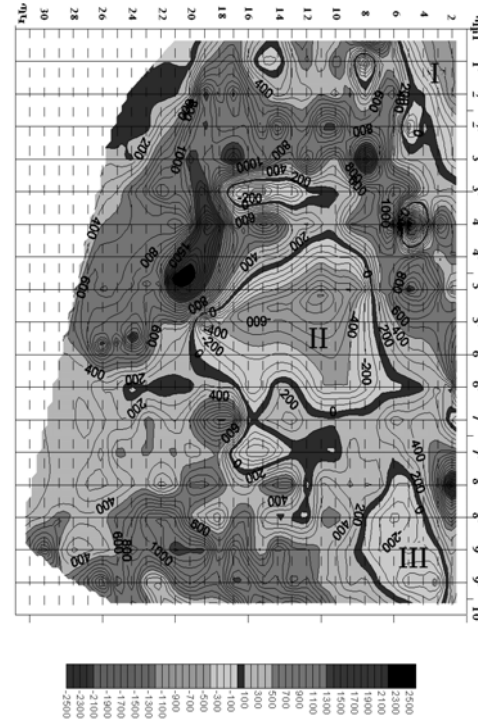
I անոնալիան հայտնաբերված է հետազոտվող հրապարակի հյուսիսարևմտյան հատվածում: Անոնալիան մասնակի է ընդգրկված հետազոտվող տեղամասի սահմաններում և ունի $-600 \text{ } \mu\text{S}$ ինտենսիվություն:

II անոնալիան հայտնաբերված է հետազոտվող հրապարակի կենտրոնական մասում, այն առանձնանում է իր գրադեցրած մեծ մակերեսով, և մինչև $-900 \text{ } \mu\text{S}$ հասնող ինտենսիվությամբ:

III անոնալիան հայտնաբերված է տարածքի հյուսիսարևելյան մասում և ունի հարավ–արևմուտքից՝ հյուսիս–արևելք ձգվածություն, ինտենսիվությունը՝ $-300 \text{ } \mu\text{S}$:



Նկ. 1: ΔT գրաֆիկների քարտեզ:



Նկ. 2: ΔT իզոդիմամների քարտեզ:

Բոլոր անոնալիաները, ինչպես երևում է իզոդիմամների քարտեզից, շրջափակված են զրոական դաշտով, իսկ դրական դաշտի իզոգծերն՝ անոնալիաների սահմանների մոտ, խտացված են, այսինքն՝ բարձր գրադիենտի տեղամասեր են:

II և III անոնալիաների միջև նշված բարձր գրադիենտի տեղամասը բացակայում է, այսինքն՝ այդ տեղամասում դաշտն ունի ցածր արժեք ($\sim 100 \text{ } \mu\text{S}$), եթե շրջապատում ամենուրեք $400\text{--}800 \text{ } \mu\text{S}$ -ի է հասնում, ուստի, կարելի է ենթադրել, որ այս երկու անոնալիաները խորքում մեկ ընդհանրություն են կազմում: Մոտավորապես, նոյն պատկերն է դիտվում II անոնալիայի հարա-

վային մասում: Բոլոր դեպքերում, անոնական նման պատկերը կապել քրոմիտային հանքային մարմինների գոյության հետ, կարելի է միայն լրացուցիչ տվյալների առկայության դեպքում: Այդպիսի կարող են լինել, ինչպես գրավիտացիոն դաշտի դրական անոնականների առկայությունը, այնպես էլ՝ երկրաքիմիական և պետրոգրաֆիական ուսումնասիրությունների համապատասխան արդյունքները:

Եղբակացություն: Ըստ կատարված մազնիսահետախուզական աշխատանքների արդյունքների, կարելի է հանգել հետևյալ եղբակացությունների:

- Քրոմիտային հանքանյութերն իրենց մազնիսական հատկություններով, հատկապես՝ մազնիսական ընկալունակությամբ և բնական մնացորդային մազնիսականությամբ, էապես տարբերվում են շրջափակող գերիմքային ապարներից: Որքան հանքանյութում քրոմիտի տոկոսային պարունակությունը մեծ է, այնքան փոքր են հանքանյութի մազնիսական հատկությունները:

- Մազնիսական հանույթի տվյալներով կառուցված ΔT դաշտի գրաֆիկների և իզոդինամների քարտեզների վրա առանձնացված երեք անոնական տեղամասերն (I, II, III) ունեն դաշտի ցածր և բացասական արժեքներ: Ենթադրվում է, որ դրանք կապված են քրոմիտային հանքանյութերի հետ, քանի որ այդ անոնականներն ի հայտ են եկել գերիմքային ապարների տարածման սահմաններում, իսկ ինտենսիվությունները համեմատելի են տեսական և գործնական տվյալների հետ:

- II և III անոնականները կարող են ունենալ ընդհանուր հիմք, այսինքն՝ այս երկու անոնականների պատճառ հանդիսացող «հանքային գոյացումները» խորքում կարող են լինել մեկ ընդհանուր մարմին: Այդ ենթադրյալ մարմինը կարող է նաև շարունակություն ունենալ դեպի հարավ-արևելք:

Տեղամասում կատարված երկրաբանական և երկրաքիմիական հետազոտություններով, հաստատվել են մազնիսական անոնականների կապը քրոմիտային հանքային զանգվածների հետ:

Երկրաքիմիկայի ամքիոն

Ստացվել է 18.05.2011

Գ-ՐԱԿԱՆՈՒԹՅՈՒՆ

1. Физические свойства горных пород и полезных ископаемых. Пetroфизика. Справочник геофизика. М.: Недра, 1990.
2. Гринкевич Г.И. Магниторазведка. М.: Недра, 1987.
3. Գոյումջյան Հ.Պ., Խարազյան Է.Խ., Խաչատրյան Շ.Վ., Չախրելյան Տ.Հ. Սևանի հյուսիսարևելյան ափի կարրունատային (“լիստվինիտներ”) ապարների ծագումնաբանության և հանքաբանության հարցի շուրջ: Պրոֆ. Վ.Ա. Ավետիսյանի 90-ամյակին նվիրված գիտաժողովի գիտական աշխատությունների ժողովածու: Ել., 2008:
4. Инструкция по магниторазведке: наземная магнитная съемка, аэромагнитная съемка, гидромагнитная съемка. Под ред. Ю.С. Глебовского и В.Е. Никитского. Л.: Недра, 1981.
5. Страхов В.Н. Методы интерпретации гравитационных и магнитных аномалий. Пермь: Изд-во Пермского университета, 2004.

Г. В. МАРКОСЯН, Р. А. КАРАМЯН

ПРОДУКТИВНОСТЬ ПРИМЕНЕНИЯ МАГНИТОРАЗВЕДКИ
В ХРОМИТОВЫХ МЕСТОРОЖДЕНИЯХ
(на примере Шоржинского месторождения)

Резюме

В работе обосновывается эффективность применения магнитной съемки в хромитовых месторождениях. Указано, что в Шоржинском рудном поле локальные аномалии отрицательных и относительных минимумов магнитного поля обусловлены пространственным расположением хромитовых рудных тел.

G. V. MARKOSYAN, R. A. KARAMYAN

EFFICIENCY OF APPLYING MAGNETIC EXPLORATION
IN CHROMITE FIELDS
(on the example of Shorja field)

Summary

The efficiency of applying magnetic survey in chromite fields is substantiated. It was pointed, that in Shorja ore field local anomalies of negative and relative minimums of magnetic field are caused by spatial distribution of chromite ore bodies.